

消散を考慮した地盤の応答解析

東北大学工学部 (正) 柳沢 荘司
同 学) ○ 舟井 雅之

1. まえがき

1978年6月12日に発生した宮城県沖地震で、松島町手摺地区の千拓堤防では、堤体の沈下、亀裂、崩壊、堤体表面のアスファルト被覆の破壊等の被害を受けた。これらの被害は、震動そのものより起因するものもあるが、主因は地震動に伴う堤体基盤の疲労化現象であろうと考えられる。本研究は、現地で行われたボーリング調査結果をもとに、堤体下地盤の地震動による過剰荷重木圧の発生及び消散を考慮した疲労化解析を行ったものである。

2. 解析方法

本研究では、地盤を半無限地盤と仮定している。そして各尺をバネ、ダンショットで連結し、多質点系の震動モデルを作った。入力としては1978年宮城県沖地震の際、基盤が同一視見なされる塩釜港で得られた地表面の加速度記録を重複反射理論によって、基盤に適したものとする。この入力に対する系の応答は、Newmarkの手法 ($\beta=1/4$) によって求めた。なお、運動方程式における粘性減衰マトリックスは次の様な比例型の減衰により定義された。

$$[C] = \alpha[M] + \beta[K]$$

ここに $[M]$ は集中質量でトリックスで $[K]$ は剛性マトリックスである。また α および β は定数で、系の自由振動(100 g/m/s²/波)解析を行い、減衰比を算定した結果から $\alpha = 0.30$, $\beta = 0.012$ とした。この場合の減衰比は 9.8% である。

地盤要素の動的剛性およびビズミは、修正 Hardin-Drnevich Model¹⁾に従うものとする。解析はまず、 $[C]$ $[M]$, $[K]$ の各マトリックスを求めて応答計算を行つた後、各尺のせん断応力を計算し、この波形をもとにして発生する向ゲキ水圧を計算する。さらに動載荷配の発生に伴う消散を考慮する。有効拘束圧の変化に伴う剛性の低下を評価し、剛性マトリックスを組み変えて、次々タクシステップに移る。

3. 向ゲキ水圧発生および消散のモデル

向ゲキ水圧発生モデルは、柳沢、金子らが千摺地区の試料を用いて、動的三軸試験を行つて求めたモデルである。これは応力比 (σ/σ_0) が 0.30 より小さい所では、発生向ゲキ水圧は(1)式に従い、0.30 以上では向ゲキ水圧は(2)式に従う。

$$\begin{aligned} & u_{N*}; N\text{回目サイクルで発生する向ゲキ水圧比} \\ & U_{N*}; (N-1)\text{回目サイクルで発生する向ゲキ水圧比} \\ & \rightarrow U_{N*} = 3.5N^{-0.95}(1-U_{N*})^2 \left(\frac{\sigma}{\sigma_0}\right)^{25} \quad (1) \quad \rightarrow \sigma; \text{せん断応力} \\ & \rightarrow U_{N*} = 1.9 \times 10^{-0.70} \times 2^{13} \quad (2) \quad \rightarrow \sigma; N\text{回目サイクルで発生する向ゲキ水圧} \end{aligned}$$

消散モデルは、一次元圧密理論に動的向ゲキ水圧の項を加えた(3)式を、中央差分で解いていく。

$$\frac{\partial}{\partial t} \left(\frac{\partial u}{\partial z} \frac{\partial u}{\partial z} \right) = m_w \left(\frac{\partial u}{\partial t} + \frac{\partial U_g}{\partial t} \right) \quad (3)$$

$\frac{\partial u}{\partial z}$; 消散による向ゲキ水圧の変化速度
 $\frac{\partial U_g}{\partial t}$; せん断による向ゲキ水圧の蓄積速度
 m_w ; 透水係数
 m_w ; 体積圧縮係数

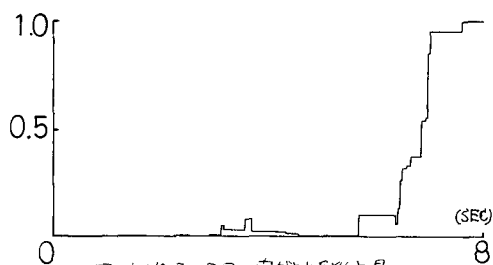


図-1 NO.2 2R日の向ヶヶ水圧比上昇

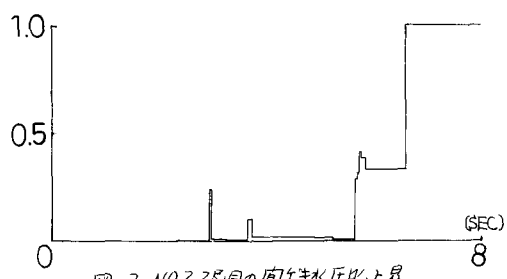


図-2 NO.2 2R日の向ヶヶ水圧比上昇

4. 結果、考察

基盤に入力する加速度波形を図3に示す。粘土尺がそれをれ
14mと16.7mあるNO.1, NO.2について、地表面での応答加速度、応答
変位を図4~8に示す。応答倍率は地表面で0.5倍(NO.1), 1.6倍(NO.
2)であり、粘土尺が厚いほど応答倍率は大きい。常時激動の割合
によると、地震 方向の卓越周期は、No.1で0.4sec, No.2で0.
7secであり応答変位の周期は、ほぼこれと一致している。NO.2は
剛性の比較的小さい粘土尺が厚いので、地表での応答加速度は細
かい成分が少ないことがわかる。図8はNO.2の粘土尺の最深端に
ある負の、応答加速度である。細かい成分が多くなっており、地
表面の応答加速度と比較してみるに、粘土尺最深端での応答倍率
は約0.5倍であるのに対して、地表面では約1.6倍になる。従
って粘土尺を通過する向上加速度が3倍に拡大されたことになる。
図1, 図2はNO.2モデルにおける地表面下1/mの尺の向ヶヶ水圧
比の上昇過程を示したものである。(3)式の m_w と κ の影響を見るとた
め、図1では $m_w = 8.4 \times 10^5 \text{ m}^2/\text{sec}$, $\kappa = 1.0 \times 10^{-5} \text{ m}^2/\text{sec}$ 、図2では $m_w =$
 $3.3 \times 10^5 \text{ m}^2/\text{sec}$, $\kappa = 2.0 \times 10^{-5}$ とした。図1と図2を比較してみれば、
図1の方が、向ヶヶ水圧の消散が効果的に液状化する時刻も遅くな
っている。この事は表尺工の透水性を高めることが、液状化対策として有効であることを示すものと考えられる。

参考文献 1) 国生 植井「Modified Hardin-Drnevich Model」(1971)

土木学会第35回年講

2) 吉見吉昭著「砂地盤の液状化」技報室出版

pp88~89

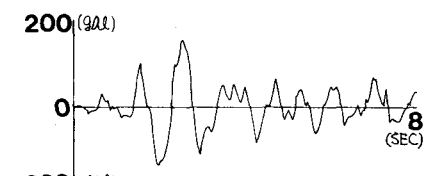


図-3 入力加速度

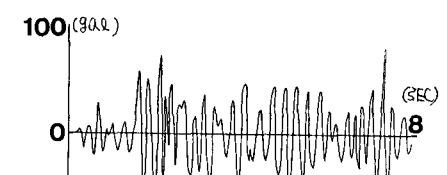


図-4 NO.1 応答加速度(地表)

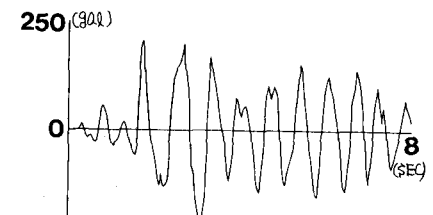


図-5 NO.2 応答加速度(地表)

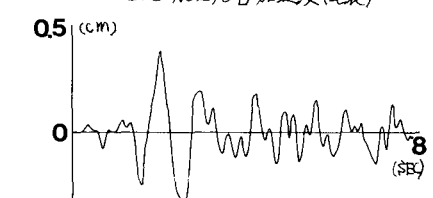


図-6 NO.1 応答変位(地表)

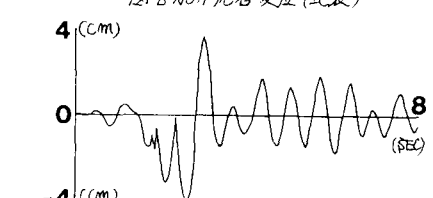


図-7 NO.2 応答変位(地表)

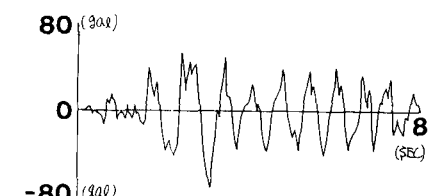


図-8 NO.2 粘土尺最深端応答加速度